

] 10 5r •

KAWASAKI STEEL GIHO

Vol.6 (1974) No.4

Ã—É Ü – å b#' P K _6õ M • 9,\$x%É'2

Experimental Study on the Field Welding of the Pipeline

N 4(j (Michihiko Hara)

• e c b l i a ? } 7 0 t [A r M

Experimental Study on the Field Welding of the Pipeline

原道彦* 浜田敬之介**

Michihiko Hara

Keinosuke Hamada

藤本智也***

Tomoya Fujimoto

Synopsis :

This report introduces some findings from a loading test given to a pipe having a manual circumferential welding joint when subjected to a static internal pressure and external bending force. It relates stress-strain characteristics of the pipe and the welding joint.

The report also explains the result of study on the weldability of offset pipes and inclined pipes with a view to adopting the automatic (CO_2 -Ar shield arc) welding process into a practical application for

Table 1 Pipe dimensions and sectional properties

Outer diam.	Wall thickness	Length	Sectional area	Modulus of elasticity	Crush. stress	Crush. strain
-------------	----------------	--------	----------------	-----------------------	---------------	---------------

Layer	Electrode	Diameter	Welding current	Arc voltage
-------	-----------	----------	-----------------	-------------

に内圧 $100\text{kg}/\text{cm}^2$ を保持した状態で、供試管が

り、引張縁からクラックが発生し、ほぼ管断面全周の $\frac{2}{3}$ にわたって延性破壊し、破壊時の荷重は

り Mises, Tresca の降伏条件を満足する点は圧縮側で A, B 点であり、引張側では A', B' 点で

138 t であった。

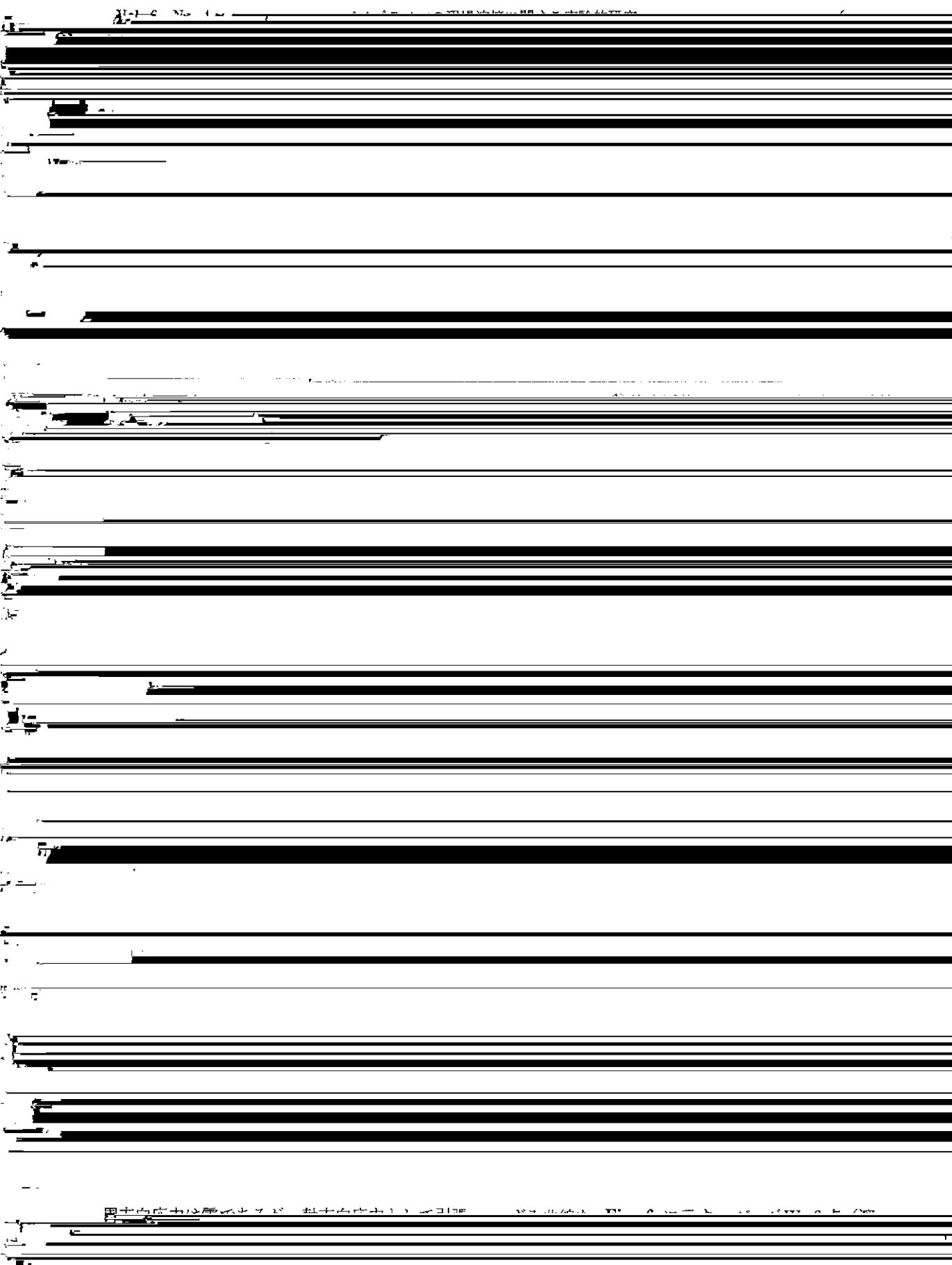
ある。もちろん、降伏荷重は圧縮側の A, B 点で
~~必ずしも A' と B' で満たさない場合もある。~~

Mises-Hencky の降伏条件は次式で与えられ

れば、Table 5 に示す結果が得られる。Table 5

母管部のひずみ測定のため、スパン中央点の溶

8分点位置のそれである。



に静的な内圧と曲げを負荷したときの継手部は十分な強度を保有していることが確認された。

しかししながら、溶接残留応力に起因する継手部

パイプラインの溶接では、適正かつ安定した裏波ビードを確保することが第一条件であり、このため目清い量は、ルート間隔に応じてある限界値

の低荷重域での降伏、これに続く著しい塑性変形の増大を考えるとき、溶接部は無欠陥であることはもとより、延性、韌性に富んだものでなければならない。また、将来の高張力鋼管の普及を考え

内に規定されなければならない。

3・1・1 目清い量および位置

ここでは Table 7 に示す斜線領域内のルート

の上、下(T, B)に位置する場合について実験を行った。

形開先、ルート面幅は0.5mm目標とした。溶接

3・1・2 溶接

溶接に使用したワイヤを Table 8 に、初層溶接の条件を Table 9 に示す。開先形状は60°のV

3・1・3 試験結果

管断面のT, R, Bの3位置より採取した断面マクロ組織を Photo 1 を示す。また T 位置は

Table 8 Wire used for test

Wire	Chemical compositions (%)	Tensile properties (JIS Z3111)		
		Yield point	Tensile strength	Elongation

R位置と同一条件と考えられるので省略した。

ルート間隔 2, 2.5mm では目違い量が 1 mm

ルート間隔 3, 3.5, 4 mm では目違い量が 2 mm

インでは水平固定管はもとより傾斜固定管にもしばしば遭遇する。ここでは傾斜固定管の溶接性を検討するため傾斜角 7°, 10°, 15° の 3 ケース

た、ルート間隔 3 mm では 2 mm の目違い量でも、さらにルート間隔 3.5, 4 mm では 3 mm の

について全姿勢溶接実験を行った。

3.2.1 溶接

わかる。このことは、ルート間隔が狭くなるほど目違いの許容量は小さく、逆に広くなるほど許容

量が大きくなることを示しており、自動溶接においても手溶接の場合と同様の性状を示すことが認められる。

この特性を溶接施工技術の立場から考察すると以下のことがいえる。左右対称の振分け上進法では、B 位置より溶接を開始し、T 位置へと進むにつれてじょじょに溶接速度を上昇させてゆくが、ルート間隔が狭いほど溶接速度は大きくなり、か

溶接に使用したワイヤは Table 8 に示したもので、供試管は API 5LX X60、肉厚は 12.7mm

開先形状は Fig. 8 のとおりである。

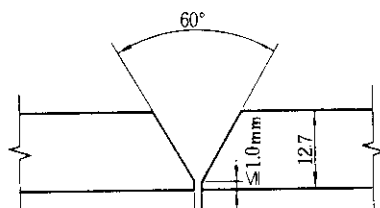
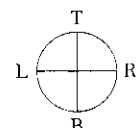


Table 10 Welding conditions and arc times in case of 7° inclined

Layer	Welding current (A)	Arc voltage (V)	Oscillating cycle (cpm)	Stop time (sec)	Welding speed (cm/min)	Arc time (min)
1	90	16~18	80	0	10~16	9.0
2	120	16~18	60	0.2	13	9.2
3	120	16~18	40	0.3	12	10.0
4	100	16~18	80	0.4	7	17.0

15° の場合の表面ビード外観、裏波ビード形状を
Photo. 2 に示す。

傾斜角 10° の場合の 5, 6 パス溶接条件は



傾斜角15°の場合の4, 5パス溶接条件はTable 10

い、融合不良の発生を考慮して管断面下端を溶接

の上層口の内側を、ハサウェイの回転の

仮止めし、後で溶接する。スナップの幅は±1.5mm

2層目の条件を準用している。

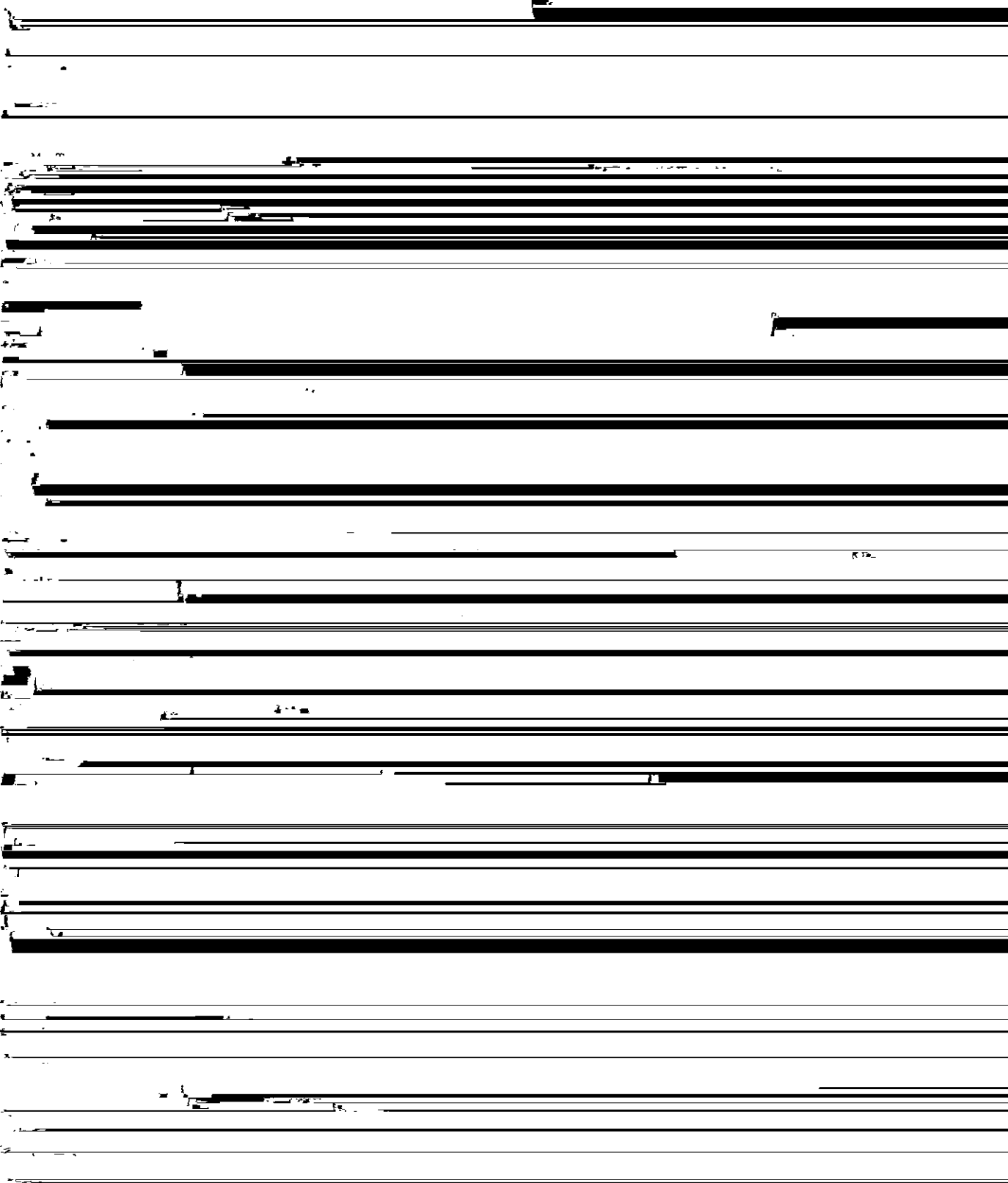
傾斜角7°の場合には、水平固定管の溶接とまったく変わることはない。10°になると最終仕上げ層の溶接金属の下部基材に、特に溶接開始点

が一般的である。

しかし、この方法では溶接始点および終点近傍に欠陥が集中しやすくなるため、前層の溶接始点、終点近傍を必ずダーリングにて平滑に研削

Top of pipe

Fig. 10. 12. Table 13. Photo 3 け傾斜角



あり、従来法の 100~120min と比較すると 30~

にすぎないといべきであら。

40%の短縮化となる。

しかしながら、パイプライン配管上の最も基本的な事柄はもちろん管と管の接合であり、確実な

4. あとがき

後とふたゆきざる研究努力をかねつけた所左で

パイプラインの溶接とは、単に溶接そのものの

ある。

又に終始すべき問題でなければ、溶接—配管—土

砂利層セメント 及び溶接の問題である。

工、塗装、防蝕、検査などが有機的に結びついた

益なるご提言を賜わった日本国有鉄道技術研究所